

## ВЛИЯНИЕ ЗАПЫЛЕННОСТИ ПОТОКА НА РЕЗУЛЬТАТЫ ИСПЫТАНИЙ В ГИПЕРЗВУКОВЫХ АЭРОДИНАМИЧЕСКИХ ТРУБАХ

Б. И. БАКУМ, Т. Н. ДОМБРОВСКАЯ, В. И. ЛАГУТИН

(Москва)

Рассмотрены природа и характер влияния запыленности рабочего потока гиперзвуковых аэродинамических труб на результаты аэродинамических испытаний. Показано, что запыленность вызывает увеличение силы лобового сопротивления тонких моделей и, наоборот, уменьшение силы лобового сопротивления и коэффициента демпфирующего продольного момента затупленных моделей.

В известных работах [1, 2] влияние запыленности на результаты испытаний объясняется по следующей упрощенной схеме: частицы перед соударением с моделью имеют скорость, равную скорости потока, а их влияние сводится к передаче запасенного ими количества движения в виде импульса силы. Однако эта схема не всегда пригодна. Так, в работе [3] показано, что в гиперзвуковых аэродинамических трубах вследствие отставания частиц от потока может происходить его турбулизация и исказяться характер обтекания затупленных моделей. В работе [4] и других показано, что при соударении со скоростью  $1 \div 10 \text{ км/сек}$  и более импульс силы может быть больше количества движения ударяющейся частицы. Рассмотрим факторы, определяющие влияние запыленности на результаты аэродинамических испытаний.

*Дополнительный импульс силы.*  
Возьмем случай обтекания тела с плоским торцом. Соударение частиц с торцом приводит к появлению импульса силы [4].

$$I_s = mW_1(1 + 0.6W_1/W_s) \quad (1)$$

Здесь  $m$  — масса частиц пыли, стапывающихся с моделью,  $W_1$  — скорость соударения,  $W_s$  — скорость соударения, необходимая для разрушения связей кристаллической решетки или мелкого дробления материала частиц и модели (для металлов  $W_s \approx 2000 \text{ м/сек}$  [4]).

Используя закон сопротивления Ньютона, можно описать силы, действующие на модель со стороны частиц и чистого газа соответственно уравнениями

$$P_1 = \rho_2 z W_2 W_1 (1 + 0.6W_1/W_s) F^o, \quad P_2 = \rho_2 W_2^2 F^o \quad (2)$$

Здесь  $\rho_2$ ,  $W_2$ ,  $W_1$  и  $z$  — соответственно плотность и скорость газа, скорость частиц и весовой уровень запыленности набегающего потока,  $F^o$  — площадь лобовой поверхности.

Вследствие динамического отставания частиц  $z$  увеличивается в сравнении с уровнем запыленности газа в форкамере  $z_0$  [5] и при  $z_0 \ll 1$

$$z = z_0 W_2 / W_1 \quad (3)$$

Из уравнений (2) — (3) получим, что в рассматриваемом случае

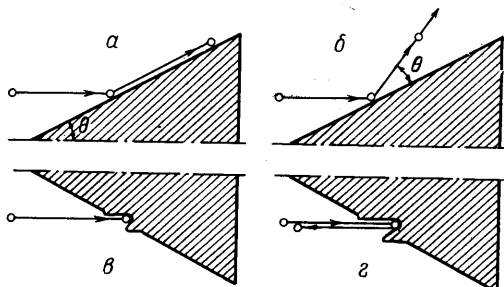
$$p = P_1 / P_2 = z_0 (1 + 0.6W_1/W_s) \quad (4)$$

При обтекании острого конуса с углом полураствора  $\theta$ , установленного под нулевым углом атаки, лобовая сила в соответствии с законом сопротивления Ньютона равна

$$P_2 = \rho_2 W_2^2 F \sin^2 \theta \quad (5)$$

где  $F$  — площадь поверхности конуса.

Что касается силы, действующей со стороны пыли на конус, то ее величина будет определяться характером взаимодействия частиц с моделью. Нетрудно показать, что в четырех возможных случаях соударения (неупругом по схеме Ньютона (фиг. 1, a), упругом (фиг. 1, б), соударении с «прилипанием» частицы к модели без выброса материала из кратера, образующегося на поверхности модели (фиг. 1, в) и соударении с «твердым взрывом», когда импульс силы увеличивается согласно урав-



Фиг. 1

нению (1)) величина  $p$  описывается соответственно следующими уравнениями:

$$p = z_0, \quad p = 2z_0, \quad p = \frac{z_0}{\sin^2 \theta}, \quad p = \frac{z_0}{\sin^2 \theta} \left( 1 + 0.6 \frac{W_1}{W_*} \right) \quad (6)$$

Из сравнения уравнений (4) и (6) видно, что наибольшее влияние указанный фактор может оказывать на тонкие тела.

*Искажение характера обтекания.* При испытаниях затупленных моделей в запыленном рабочем потоке гиперзвуковых аэродинамических труб отшедший скачок уплотнения под действием следом отстающих частиц можетискажаться, принимая форму «жидкого» конуса, характерную для обтекания тел с иглой (фиг. 2). Оценить воздействие этого фактора расчетным путем довольно трудно, так как для этого необходимо знать размеры, форму, продолжительность существования и частоту возникновения жидких конусов, а также влияние нестационарности процесса обтекания вследствие чередующихся появленияй и исчезновений конусов. При обтекании тонких тел искажений характера обтекания не наблюдается и поэтому этот фактор не должен оказывать влияния на результаты их испытаний.

*Турбулизация потока.* Вследствие динамического отставания частиц происходит турбулизация набегающего потока [3] и, возможно, пограничного слоя на модели. Оценить влияние пылевой турбулизации, которая может приводить, например, к ускорению перехода, смещению точки перехода и т. д., сложно. Можно лишь ожидать, что влияние этого фактора является незначительным, так как при гиперзвуковом обтекании сопротивление трения обычно мало в сравнении с волновым сопротивлением.

Экспериментальное исследование влияния запыленности было проведено в гиперзвуковой аэродинамической трубе при уровне запыленности рабочего потока, искусственно увеличенном путем засыпки в форкамеру частиц  $\text{Al}_2\text{O}_3$  с размером зерен 5–7 мкм. Параметры набегающего потока соответствовали  $M_\infty = 10–15$  и  $Re \approx 10^6$  (характерный размер — диаметр макета модели); обычный уровень запыленности потока трубы равнялся  $\approx 0.05\%$ .

Исследовались коэффициент лобового сопротивления  $c_t$  и коэффициент демпфирующего продольного момента  $m_z^\alpha + m_z^{\omega z}$ . Величина  $c_t$  определялась с помощью внутримодельных тензоресов,  $m_z^\alpha + m_z^{\omega z}$  — методом свободных колебаний [6].

Ожидаемое увеличение силы лобового сопротивления сферы за счет передачи кинетической энергии при  $z_0 \approx 2\%$  согласно оценке, сделанной по уравнению (4), равнялось  $3 \div 5\%$ . Однако в действительности наблюдалось уменьшение силы лобового сопротивления на  $\approx 20\%$ , что происходило вследствие преобладающего влияния жидких конусов, количество которых в этих экспериментах было на порядок больше,

чем обычно. Еще более существенным (также из-за искажений формы скачка (фиг. 2)) оказалось влияние запыленности на демпфирующие характеристики сегментально-конического тела (величина  $m_z^\alpha + m_z^{\omega z}$  изменилась в два раза).

Весовые испытания острого конуса ( $\theta = 11^\circ$ ), как и ожидалось, показали, что вследствие появления дополнительного импульса силы при обтекании запыленным потоком измеренное значение коэффициента лобового сопротивления конуса возрастает. Приведем полученные при этом значения  $p$  и сравним их с расчетом (вверху — при угле атаки  $\alpha = 0$ , внизу — при  $\alpha = 10^\circ$ ).

Эксперимент	Уравнение (6)			
	(фиг. 1, а)	(фиг. 1, б)	(фиг. 1, в)	(фиг. 1, г)
0.15	0.008	0.016	0.22	0.33
0.03	0.008	0.016	0.063	0.1



Фиг. 2

Как видно, наилучшее совпадение получается при расчете по схеме, представленной на фиг. 1, в.

Исследование коэффициента демпфирующего продольного момента острого конуса при уровне запыленности  $z_0 \approx 0,3\%$  не выявило отличий (в пределах погрешности измерений) от обычных испытаний ( $z_0 \approx 0,05\%$ ) и от расчетных данных.

В проведенных испытаниях влияние пылевой турбулизации потока на аэродинамические характеристики не обнаружилось, так как этому фактору в тех случаях, когда он мог оказывать влияние, обязательно сопутствовало, по-видимому, более существенное влияние других факторов.

Поступило 4 XI 1969

#### ЛИТЕРАТУРА

1. Техника гиперзвуковых исследований. М., «Мир», 1964.
2. Современная техника аэrodинамических исследований при гиперзвуковых скоростях. М., «Машиностроение», 1965.
3. Бакум Б. И. Пылевая турбулизация рабочего потока в гиперзвуковом сопле. Изв. СО АН СССР, Сер. техн. н., 1969, № 8, вып. 2, стр. 32—35.
4. Станюкович К. П. Элементы теории удара твердых тел с большими (космическими) скоростями. Искусственные спутники Земли, 1960, вып. 4, стр. 86—117.
5. Progress in Astronautics and Rocketry, vol. 6. Detonation and Two-Phase Flow, Acad. Press, N. Y., 1962, p. 117.
6. Белоцерковский С. М., Скрипач Б. К., Табачников В. Г. К определению коэффициентов вращательных производных в аэrodинамических трубах. Изв. АН СССР, Механика и машиностроение, 1964, № 3.

## О ФИЛЬТРАЦИИ ПОДЗЕМНЫХ ВОД К ДВУХЛИНЕЙНЫМ ГОРИЗОНТАЛЬНЫМ ДРЕНАЖАМ В ДВУХСЛОЙНЫХ ВОДОНОСНЫХ ПЛАСТАХ СО СВОБОДНОЙ ПОВЕРХНОСТЬЮ

А. Ж. МУФТАХОВ

(Челябинск)

Рассматривается задача о нестационарной фильтрации подземных вод со свободной поверхностью к двухлинейному совершенному дренажу в двухслойном водоносном пласте. Приводятся зависимости для определения понижения уровня в междуречном пространстве, являющемся основным критерием эффективности такого дренажа.

Вопросы неустановившейся фильтрации подземных вод к двухлинейным и кольцевым горизонтальным дренажам в двухслойных водоносных пластиах рассматривались главным образом в гидравлической постановке при ряде упрощающих допущений. Одни исследователи задачу решают путем использования потенциала Гиринского [1—3], другие считают, что в верхнем слое фильтрацией воды

происходит в вертикальном направлении, а в нижнем, более проницаемом слое — только в горизонтальном [4].

В то же время правомерность применения этих допущений должно обоснования не нашла. В практике осушения двухслойные пласти встречаются очень часто, поэтому ниже рассматривается вопрос о фильтрации подземных вод к двухлинейным совершенным горизонтальным дренажам в двухслойных водоносных пластиах.

Гидродинамическая схема рассматриваемой задачи представлена на фигуре. Считаем, что уровень во-

ды в дрене поддерживается в пределах верхнего слоя. Пусть в общем случае водоносные породы обладают вертикальной фильтрационной анизотропией. Тогда при

